

**Proceeding Series of the Brazilian Society of Computational and Applied Mathematics**

## Detecção de Bordas e Suavização de Imagens Digitais via Métodos Variacionais

Italo Messias Felix Santos <sup>1</sup> Abimael Dourado Loula <sup>2</sup> Gilson Antonio Giraldo <sup>3</sup>  
 Laboratório Nacional de Computação Científica (LNCC)  
 Gastão Florêncio Miranda Junior <sup>4</sup>  
 Universidade Federal de Sergipe (UFS)

### 1 Introdução

Este trabalho tem como objetivo detecção de bordas e suavização de imagens digitais. Para este fim, seguimos o esquema sugerido pelo artigo [1] partindo do modelo de Mumford e Shah [2] o qual é reduzido a uma expressão mais simples e elegante usando artifícios de  $\Gamma$ -convergência. Uma aproximação para a nova expressão pode ser obtida por um esquema iterativo totalmente linear o que possibilita a utilização do método dos elementos finitos garantindo consistência e estabilidade. O custo computacional pode ser reduzido usando malhas não estruturadas com nós determinados por um filtro do tipo passa-alta.

### 2 Desenvolvimento do método

A premissa é determinar  $u_{min} \in H^1(\Omega) = \left\{ f \in L^2(\Omega); \frac{\partial f}{\partial x} \in L^2(\Omega) \text{ e } \frac{\partial f}{\partial y} \in L^2(\Omega) \right\}$ , onde  $\Omega$  é o domínio da imagem, que minimiza o funcional  $E(u)$  proposto por Mumford e Shah [1]. Para isto, é definindo um novo funcional  $E_c(u, v)$  onde  $E_c \rightarrow E$  quando  $c \rightarrow 0$  de tal forma que as sequências minimizantes  $u_c, v_c$  de  $E_c$  converjam para  $(u_{min}, v_{min})$ .

Consideramos  $u$  e  $v$  restritos a um espaço de dimensão finita  $V(\Omega) \subset H^1(\Omega)$  gerado por uma base linear por partes com  $N$  elementos. Desta forma, queremos determinar  $(u, v) \in V(\Omega) \times V(\Omega) = V(\Omega)^2$  que minimiza o funcional:

$$\int_{\Omega} \left\{ \beta(u - g_c)^2 + (v^2 + k_c) \|\nabla u\|^2 + \frac{2\alpha}{\pi} \left( c \|\nabla v\|^2 + \frac{(1-v)^2}{4c} \right) \right\} d\Omega, \quad (1)$$

onde  $c$  é um número pequeno,  $\alpha > 0$  e  $\beta > 0$  são parâmetros,  $k_c \ll \alpha$  controla o grau de suavização e  $g_c \rightarrow g \in H^1(\Omega)$  quando  $c \rightarrow 0$ . No contexto de processamento de imagens  $g$ ,  $u$  e  $v$  representam a imagem original, a imagem suavizada e as bordas respectivamente.

<sup>1</sup>italof@lncc.br

<sup>2</sup>aloc@lncc.br

<sup>3</sup>gilson@lncc.br

<sup>4</sup>gastao@mat.ufs.br

Utilizando a diferencial de Gateaux chegamos ao seguinte esquema iterativo:

$$\begin{cases} u_n \in V; \int_{\Omega} \{\beta(u_n - g_c)\hat{u} + (v_{n-1}^2 + k_c)\nabla u_n \cdot \nabla \hat{u}\} d\Omega & = 0, \forall \hat{u} \in V(\Omega) \\ v_n \in V; \int_{\Omega} \left\{ \|u_n\|^2 v_n \hat{v} + \frac{\alpha}{\pi} \left( 2c \nabla v_n \cdot \nabla \hat{v} - \frac{(1 - v_n)\hat{v}}{2c} \right) \right\} d\Omega & = 0, \forall \hat{v} \in V(\Omega) \end{cases} \quad (2)$$

o qual tem a propriedade  $u_n \rightarrow u_{min}$  e  $v_n \rightarrow v_{min}$  quando  $n \rightarrow \infty$ . Observe que precisamos fornecer condições iniciais  $u_0$  e  $v_0$  para o esquema acima.

O algoritmo foi implementado em Python3 e para reduzir o tempo computacional de cada iteração, utilizamos malhas não estruturadas geradas com a triangulação de Delaunay a partir de um conjunto de pontos obtidos pelo filtro de *Canny*. A malha adaptada junto ao método dos elementos finitos permite dar ênfase maior em regiões onde existe maior variação de intensidade de pixel. A Figure 1 mostra um experimento efetuado onde  $g$  representa a imagem ilustrada na Figura 1.(a). As Figuras 1.(b)-(c) representam as imagens obtidas das funções  $u$  e  $v$ , as quais foram resultantes das equações (2).

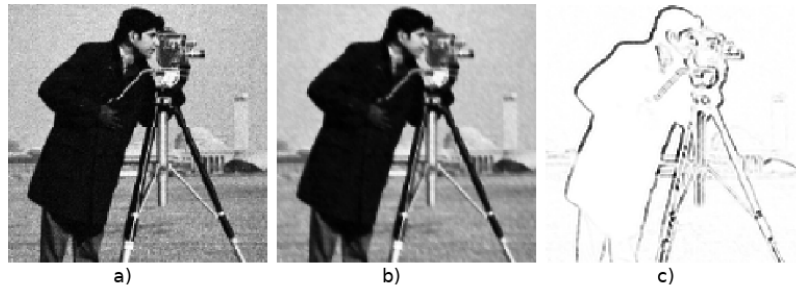


Figura 1: (a) Imagem original. (b) Versão suavizada. (c) Bordas extraídas

## Agradecimentos

Agradecimentos a CAPES pelo apoio financeiro permitindo que este trabalho seja desenvolvido.

## Referências

- [1] B. Blaise. Image segmentation with a finite element method. *M2AN*, Vol. 33, Nº 2, 229–244, 1999.
- [2] D. Mumford and J. Shah. Optimal approximation by piecewise smooth functions and associated variational problems. *Comm. Pure Appl. Math.* XLII 577–685, 1989.